



DOI:10.52547/GeoSpa.22.2.191

*موسی عابدینی^۱
علی عشقی چهاربرج^۲
سعیده علوفی^۳

ارزیابی میزان تابآوری کالبدی شهر در سناریوهای مختلف زلزله نمونه موردی: منطقه شش شهر تهران

تاریخ دریافت: ۱۴۰۰/۰۳/۰۵
تاریخ پذیرش: ۱۴۰۱/۰۲/۱۹

چکیده

در بین مخاطرات محیطی، زلزله با خرابی ساختمان‌ها و زیرساخت‌های شهری، خسارت‌های بسیاری را به اموال و دارایی‌ها در نواحی شهری و اطراف آن وارد می‌کند. در مواجهه با چنین وضعیتی ایجاد جوامع تابآور مناسب‌ترین راهبرد برای مقابله با بحران زلزله است. نخستین گام برنامه‌ریزی اصولی و آگاهانه در ایجاد جوامع تابآور، سنجش میزان تابآوری سازه‌های شهری در برابر زلزله‌های احتمالی است. از این‌رو پژوهش حاضر با هدف ارزیابی تابآوری کالبدی منطقه ۶ شهر تهران در برابر سناریوهای مختلف زلزله انجام شد. جهت سنجش از ۱۰ معیار اثرگذار در قالب ۴ زیرمعیار که در تابآوری کالبدی منطقه مؤثر بودند، استفاده شد. روش پژوهش حاضر از نوع توصیفی-تحلیلی با هدف کاربردی است. برای تحلیل وزن نسبی معیارها و زیرمعیارها از تحلیل شبکه‌ی (ANP) و برای طراحی سناریوهای زلزله در شدت‌های مختلف از روش Fuzzy و مدل μ_{GIS} در محیط GIS بهره گرفته شد. نتایج حاصل از پژوهش نشان داد که در زلزله شش ریشتی از مجموع سازه‌های منطقه، ۱۲/۳۶ درصد که بیشتر در ناحیه یک شهرداری منطقه در (محله ایرانشهر) و در ناحیه ۲ شهرداری منطقه (محله نصرت) قرار دارند، از تابآوری کمی در برابر زلزله برخوردارند. در زلزله هفت ریشت، ۵۵/۲۴ درصد سازه‌های منطقه تابآوری کم و ۱۷/۶۹ درصد سازه‌ها تابآوری خیلی کمی در برابر زلزله دارند. در زلزله هشت ریشتی، با افزایش شدت زلزله،

۱- گروه جغرافیای طبیعی (گرایش ژئوموپولوژی) دانشگاه محقق اردبیلی، اردبیل، ایران. (نویسنده مسئول).

۲- دانش آموخته دکتری جغرافیا و برنامه‌ریزی شهری دانشگاه محقق اردبیلی، اردبیل، ایران.

۳- دانش آموخته دکتری جغرافیا و برنامه‌ریزی شهری دانشگاه محقق اردبیلی، اردبیل، ایران.

۲۳/۰۶ درصد سازه‌های منطقه با تاب‌آوری کم و ۵۳/۳۱ درصد سازه‌ها با تاب‌آوری خیلی کم مواجه‌اند که بیشترین تعداد این سازه‌ها در سطح منطقه ۶ شهر تهران در نواحی شهرداری ۱ (محلات ایرانشهر و ولی‌عصر)، ۲ (محله نصرت)، ۳ (محلات بهجت‌آباد و قائم)، ۴ (محله فاطمی) و ۵ (محله آرژانتین) منطقه قرار دارند.

کلید واژه‌ها: تاب‌آوری، سناریوهای زلزله، FuzzyANP، منطقه ۶ شهر تهران.

مقدمه

یکی از معضلات تهدیدکننده همیشگی زندگی جوامع انسانی طی قرون متتمدی، وقوع بلایا و سوانحی است که صدمات جبران‌ناپذیری به ابعاد مختلف زندگی انسان‌ها اعم از حوزه‌های سکونتی، اجتماعی، اقتصادی، زیست‌محیطی و روان‌شناسی وارد کرده است (Basher et al., 2015: 141؛ Esmaeili Kakhki et al., 2020: 75). افزایش سریع جمعیت، کمبود منابع و مدیریت نادرست آن سبب شده است که مخاطرات طبیعی بیش از بیش به عنوان یک عامل مهم تهدید کننده جوامع انسانی به شمار آید (COP, 2015: 21). در حالی که کثرت و تکرار بلایا، تسریع می‌شود، مناطق شهری که نیمی از جمعیت جهان در آن زندگی می‌کنند در معرض بلایای متعدد قرار می‌گیرند (Rahman et al., 2016: 1-19). این مسئله به این معنا است که مناطق شهری به مکان اصلی بسیاری از بلایای احتمالی بدل خواهند شد (León & March, 2014: 251). ویژگی‌های کالبدی و معماری خاص، تراکم بالای جمعیت، سیستم‌های زیرساختی فشرده و به هم مرتبط بر آسیب‌پذیری بالای شهرها در برابر خطرات زلزله و سیل و طوفان‌ها افزووده است (Pelling, 2003: 28؛ Gunderson, 2010؛ Azarkish et al., 2017: 169). در شرایطی که ریسک‌ها و عدم قطعیت‌ها آن، از روندی صعودی و فزاینده برخوردارند، نیاز به استراتژی‌های برنامه‌ریزی و مدیریت سوانح طبیعی کارآمد امری حیاتی است تا جوامع بشری بتوانند از آسیب‌پذیری در سطوح مختلف به ویژه سطح محلی بکاهند (Mitchell & Harris, 2012: 2). حساسیت بالای مخاطرات طبیعی، به ویژه زمین‌لرزه، سبب گردیده است تا طیف گسترده‌ای از این فعالیت‌ها و تجربیات متوجه بهبود تصمیم‌گیری‌های مربوط به مدیریت بحران زمین‌لرزه در شهرها شود (Malek & Pileh Forooshha, 2015: 6). یکی از مفاهیمی که امروزه به طور گسترده به منظور رویارویی با شوک‌های طبیعی و یا پیامدهای ناشی از اقدامات انسانی مورد استفاده قرار می‌گیرد، نظریه تاب‌آوری می‌باشد. در شرایطی که ریسک و عدم قطعیت‌ها در مواجهه با بلایای طبیعی، شوک‌های اقتصادی و غیره در حال رشد می‌باشند، تاب‌آوری به عنوان مفهوم مواجهه با اختلالات، غافل‌گیری‌ها و تغییرات معرفی می‌شود (Cimellaro et al., 2015؛ Renschler et al., 2010؛ Pisano, 2012؛ Chelleri, 2012؛ Lewis & Kelman, 2010). تاب‌آوری به دلیل پویا بودن واکنش جامعه در برابر مخاطرات، نوعی آینده‌نگری است و به گسترش گزینه‌های سیاسی برای رویارویی با عدم قطعیت و تغییر هم کمک می‌کند (Godschalk, 2003: 5؛ Tompkins & Adger, 2004: 10؛ Berkes, 2007: 282؛ Manyena, 2006: 436). بنابراین ضروری است که تاب‌آوری به عنوان بخش جدایی‌ناپذیر در تصمیم‌گیری‌های جامعه مورد توجه قرار گیرد (Mahmodzadeh & Herischian, 2018: 59).

قابلیت تابآوری شهری که فراتر از سنجش آسیب‌پذیری شهری در برابر بلایای طبیعی است، ابزار جامع سنجش قابلیت تابآوری شهری در مورد توانایی پاسخگویی جوامع و نهادها، برای ایجاد شهرهای تابآور در برابر مخاطرات شهری را ضروری می‌نماید (Kabir et al., 2018: 1109). افزایش تابآوری شهرها در برابر بلایای طبیعی به‌ویژه زمین‌لرزه‌ها به میزان زیادی در کاهش این خسارات و همچنین زمان بهبودی جوامع مؤثر است (Heidari et al., 2018: 63). به همین دلیل ضروری است که برنامه‌ریزی، با تمرکز بر تابآوری مدنظر قرار گیرد. تنها در این صورت است که در مواجهه با یک شوک ناگهانی، اجتماع نه تنها اختلال را جذب کرده و خود را ساماندهی می‌کند، بلکه قادر است وضعیتش را به شرایط بهتر نیز ارتقاء دهد (Zali & Sohrab, 2018: 41). کشور ایران به علت موقعیت لرزه‌خیزی و قرارگیری آن بر روی کمریند زلزله در برابر زلزله بسیار آسیب‌پذیر است. بسیاری از شهرهای مهم کشور از جمله تهران بر روی گسل‌های فعال قرار گرفته است که ضعف کلی کالبد شهر و عدم برنامه‌ریزی صحیح در این خصوص، در هنگام وقوع زلزله باعث افزایش خسارات جانی و مالی در آن‌ها می‌گردد (Aslani, 2018: 242). در بین مناطق شهری تهران، منطقه ۶ شهر تهران، علاوه بر گسل‌های مؤثر در زمین‌لرزه‌های شهر تهران مانند گسل مشاء، گسل شمال تهران و جنوب ری، به دلیل تأثیر گسل‌هایی در داخل و پیرامون منطقه همچون گسل داوودیه، گسل تلویزیون، گسل تخت طاووس و گسل باغ فیض و همچنین تراکم بالای جمعیت در بافت‌های فرسوده شهری با معابر تنگ، منطقه مستعدی برای وقوع زلزله و بحران انسانی است. از این‌رو بررسی برآورده تابآوری کالبدی منطقه ۶ شهر تهران در برابر خطر زلزله رویکرد مناسبی است که باید به آن بیشتر توجه کرد. با ارزیابی میزان تابآوری کالبدی منطقه در برابر خطر زمین‌لرزه می‌توان به سطح خطرپذیری و میزان تابآوری منطقه دست یافت. به موازات چنین ارزیابی می‌توان به برنامه‌ریزی اصولی و آگاهانه در راستای تابآور نمودن منطقه پرداخت. لذا ارزیابی تابآوری کالبدی منطقه در برابر خطر زلزله و تابآور نمودن منطقه در راستای کاستن از خطرات ناشی از زلزله در این محدوده از اهمیت بسیار زیادی برخوردار می‌باشد. بر این اساس، هدف پژوهش حاضر ارزیابی میزان تابآوری کالبدی منطقه ۶ شهر تهران در برابر سناریوهای مختلف زلزله است. برای رسیدن به این هدف، پژوهش حاضر در پی پاسخگویی به سؤالات زیر می‌باشد:

۱- چند درصد از سازه‌های منطقه ۶ شهر تهران در برابر شدت‌های مختلف زلزله از تابآوری کمی برخوردار است؟

۲- بیشترین سازه‌های منطقه ۶ شهر تهران با تابآوری کم در کدام نواحی شهرداری و محلات منطقه تمرکز یافته‌اند؟

پیشنهاد پژوهش

از آنجا که تابآوری مفهومی کلی و نوپاست، بخش اعظم مطالعات موجود به توصیف و شرح این مفهوم و تعیین ابعاد و مشخصه‌های مختلف آن پرداخته‌اند. به‌طوری‌که تحقیقات نسبتاً اندکی در زمینه‌ی ایجاد ابزارهایی برای

اندازه‌گیری و ارزیابی تابآوری شهری ارائه شده است (Sharifi & Yamagata, 2014: 1492). در ادامه به برخی از پژوهش‌های مرتبط اشاره می‌گردد:

Maleki et al (2017) با ارزیابی طیف تابآوری کالبدی شهرها در برابر زلزله با استفاده از مدل‌های برنامه‌ریزی به این نتایج رسیدند که ۵۴/۱۷ درصد از نواحی شهر ایلام با حفظ وضع موجود در مقابل خطرات و ناآرامی‌ها تابآور می‌باشد. Pashapour & pourakrami (2018) با سنجش ابعاد کالبدی تابآوری شهری در برابر زلزله برای منطقه ۱۲ شهر تهران نشان دادند که فقط ۱/۰۳ درصد از بافت منطقه دارای تابآوری زیاد می‌باشد و ۷۴/۶۴ درصد از منطقه دارای تابآوری متوسط و ۲۴/۳۳ درصد از منطقه دارای تابآوری کم می‌باشد. همچنین Zanganeh et al (2017)، با تحلیل تابآوری کالبدی منطقه ۱۲ شهر تهران در برابر به این نتایج دست یافتند که نواحی شش‌گانه منطقه ۱۲ شهر تهران از لحاظ میزان تابآوری کالبدی در سطوح متفاوتی قرار دارند. PourAhmad et al (2019) با استفاده از روش خودهمبستگی فضایی تابآوری کالبدی بافت‌های فرسوده شهری در برابر زلزله را مورد مطالعه قرار دادند و نتایج نشان داد که تابآوری محدوده‌های بافت مرکزی، غربی و جنوب شرقی نسبت به شمال منطقه ۱۰ در وضعیت تابآوری کم تا بسیار کم قرار دارد. Bahrami et al (2018) با ارزیابی و تحلیل تابآوری نهادی و کالبدی محلات شهری سنتدج به این نتایج دست یافتند که میانگین تابآوری برای کل خانوارهای ۵۹/۴۳ درصد است. Cutter et al (2008) پژوهشی با عنوان «مدل مکان محور برای درک تابآوری جوامع محلی در برابر بلایای طبیعی» انجام داد. در این پژوهش چارچوب جدیدی از جایگاه تابآوری به منظور ارتقاء روش ارزیابی در مقابل بلایا در سطح محلی و منطقه‌ای ارائه و مجموعه از متغیرها موثر به عنوان اولین گام در تحقق هدف، مدنظر گرفته‌اند. Zhao et al (2013) پژوهشی با عنوان «آگاهی از تابآوری آینده شهری: یک رویکرد مدل‌سازی سیستمی» انجام و مدلی برای بررسی تابآوری شهر، تحت عنوان مدل یکپارچگی کاربری اراضی، حمل و نقل و محیط‌زیست (WILUTE) ارائه نمودند. در این مدل انواع فرآیندهای داخلی شهر (اجتماعی، اقتصادی و کالبدی) در تعامل با محیط طبیعی هستند. Proag (2014) با ارزیابی و اندازه‌گیری تابآوری دو مفهوم تابآوری سخت و تابآوری نرم را مطرح و معتقد است سیستم‌ها در زمان اختلال سه واکنش متفاوت ۱- مقاومت و تعمیر و نگهداری، ۲- تغییر در حاشیه، ۳- باز بودن و سازگاری را از خود نشان می‌دهند. Suarez et al (2016) با تحقق شاخص‌های تابآوری شهری در اسپانیا نشان دادند که اغلب شهرها از تابآوری شهری فاصله دارند؛ بنابراین، برای رسیدن به تابآوری شهری باید اقداماتی مانند کاهش مصرف منابع، ترویج تجارت محلی، ایجاد فضای مشارکت شهروندان و تنوع بخشیدن به اقتصاد محلی را در مکان‌های مورد مطالعه افزایش داد. Xu & Lu (2018) پژوهشی با عنوان «بهسوی جهانی مقاوم در برابر زلزله: از بازسازی پس از فاجعه گرفته تا جلوگیری قبل از فاجعه» انجام دادند. نتایج پژوهش نشان داد که برای کاهش بلایای ناشی از زلزله، یک رویکرد تحقیقاتی میان رشته‌ای و تفکر سیستم‌ها لازم است. Yu et al (2019) پژوهشی با عنوان «چارچوب برای ارزیابی مقاومت لرزه‌ای بیمارستان‌های شهر» انجام و نتایج پژوهش نشان داد که بیمارستان‌ها از تابآوری کمی در برابر زلزله برخوردار است

و بلافاصله بعد از وقوع زلزله قادر به ارائه خدمات نیست و می‌بایست تابآوری بیمارستان‌ها در برابر زلزله افزایش یابد. مطالعه پیشینه پژوهش نشان می‌دهد که ارزیابی تابآوری کالبد شهرها در شرایط عادی و بدون در نظر گرفتن شدت لرزه‌خیزی گسل‌های محدوده مورد مطالعه صورت گرفته است. آنچه پژوهش حاضر را از پژوهش‌های پیشین FuzzyANP متمایز می‌کند رویکردی جدید در سنجش میزان تابآوری شهری در برابر زلزله با استفاده از مدل‌های GIS و مدل DLA در محیط GIS است که قادر است با شبیه‌سازی زلزله در شدت‌های مختلف همچون دنیای واقعی، میزان تابآوری شهر در برابر زلزله را مورد ارزیابی قرار دهد و نتایج دقیق‌تری از وضعیت تابآوری ارائه نماید. نوآوری دیگر پژوهش حاضر نسبت به پژوهش‌های قبلی که در سطح پهنه به ارزیابی می‌پردازند، استفاده از روش‌های نوین در سنجش تابآوری تک‌تک سازه‌های شهری در برابر زلزله است. در چنین سنجشی برای هر سازه شهری به صورت اختصاصی میزان تابآوری تعیین می‌گردد و براساس میزان تابآوری هر سازه شهری، برنامه‌ریزی‌های لازم در قالب بهسازی و نوسازی تعیین می‌شود.

مبانی نظری

بحث تابآوری در مطالعات شهری و منطقه‌ای به دنبال کاهش آسیب‌های شهری مطرح شده است (Thilo, 2010: 19). ورود مبحث تابآوری به مباحث شهرسازی و مدیریت بحران به مثابه تولد فرهنگی جدید می‌باشد. عبارت‌هایی چون "جوامع تابآور و پایدار"، "معیشت تابآور" و "ایجاد جوامع تابآور" به صورت معمول در مقالات علمی و برنامه‌های عملیاتی استفاده می‌شوند (Yoon et al., 2015; Weichselgartner & Kelman, 2015; Paton et al., 2000; Pickett et al., 2004; Walker et al., 2004; Behtash et al., 2015; Palekiene et al., 2013: 2). ریشه واژه تابآوری در لاتین Resilio به معنای «بازگشت به گذشته» می‌باشد (Amir et al., 2015: 119). مفهوم تابآوری، مفهوم جدیدی است که بیشتر در مواجهه با ناشناخته‌ها و عدم تبیین تابآوری در برابر تهدیدات، به کار برده می‌شود (Aldrich, 2012: 128). برای افزایش تابآوری سکونتگاه‌های شهری و روستایی و کاهش خطر در برابر زلزله، چهار رویکرد را مطرح نموده‌اند که به شرح زیر می‌باشند:

- کاهش مکانی: این رویکرد از نظر فیزیکی از اثرات مخاطرات محیطی جلوگیری می‌کند. هنگامی که مخاطرات طبیعی به شیوه‌ای جغرافیایی رخ می‌دهد به‌طوری‌که محل احتمالی آن‌ها را بتوان تعریف کرد، جمعیت و دارایی را می‌توان به مناطق امن‌تر که در آن اثرات سوانح کم‌تر است و یا وجود ندارد هدایت کرد. رایج‌ترین مدل روش مکانیابی، نقشه‌برداری خطر برای برنامه‌ریزی کاربری زمین است.
- کاهش ساختاری: در این رویکرد پرداختن به کاهش از دیدگاه ساختاری با اثرات فیزیکی مخاطرات طبیعی سروکار دارد. مخاطرات طبیعی پدیده‌های فیزیکی هستند که نیروها و انرژی آن می‌تواند تا حدی به صورت فیزیکی

مدیریت شود. کاهش ساختاری به طور سنتی در برابر نیروهایی مانند زلزله در ساختمان از طریق مهاربندی قاب ساختاری و یا دیوار برپی مقاومت می‌کند.

-۳- کاهش عملیاتی: در این رویکرد به جای کاهش دائمی ساختاری یا مکانی، کاهش عملیاتی اقدامات موقت به منظور کاهش اثر بلایای خاص استفاده می‌کند. از آنجاکه نمی‌توان از مخاطرات طبیعی جلوگیری کرد، معمولاً پیش‌بینی تمامی آسیب‌های بالقوه ممکن نیست. قابلیت عملیاتی برای واکنش لازم است. رایج‌ترین روش برای کاهش عملیاتی سیستم‌های برنامه‌های اضطراری و مدیریت بحران است.

-۴- کاهش مالی: بلایا فشار مالی قابل توجهی بر دوش دولتها، شرکت‌ها، خانواده‌ها و افراد می‌گذارد. پس از وقوع بلایا، دسترسی سریع و توانایی پرداخت بودجه به جوامع آسیب‌دیده از اهمیت حیاتی برخوردار است. مدل رایج این روش برای کاهش خطر این است که مکانیسم‌های مالی و بیمه ایجاد گردد تا بلافضله پس از وقوع بلایا، از این منابع مالی برای بازسازی سکونتگاه‌های انسانی استفاده گردد. انتقادی که به این رویکرد وارد کردند این است که روش‌های مالی برای تابآوری شهری می‌تواند خطر بلایا را گسترش دهد تا از عواقب یک بلایا بکاهد (d'Cruz & Satterthwaite, 2005). در پژوهش حاضر برای ارزیابی میزان تابآوری و کاهش خطرات ناشی از زلزله در شهرها، از بین رویکردهای مطرح شد، رویکرد کاهش مکانی به عنوان دیدگاه منتخب برگزیده شده است که پژوهش حاضر در قالب این چارچوب انجام شده است.

مواد و روش‌ها

روش پژوهش حاضر از نوع توصیفی-تحلیلی با هدف کاربردی است. جامعه آماری شامل نواحی شش‌گانه شهرداری منطقه ۶ تهران می‌باشد. در این پژوهش با استفاده از مطالعات کتابخانه‌ای و تجربه زلزله‌های اخیر، معیارهای مؤثر در تابآوری کالبدی منطقه در برابر زلزله استخراج شد. با توجه به این که برخی معیارها نسبت به برخی دیگر از اهمیت زیادی در تابآوری منطقه برخوردار بودند وزن نسبی هر کدام از معیارها و زیرمعیارها به وسیله پرسشنامه توسط ۶۰ کارشناس خبره تعیین گردید. وزن‌های ارائه شده توسط کارشناسان با استفاده از تحلیل شبکه‌ی (ANP) مورد تجزیه و تحلیل قرار گرفتند. در مرحله بعد بر اساس نتایج تحلیل شبکه‌ی (ANP)، برای هر معیار به همراه زیرمعیارهای آن لایه‌ای در محیط GIS تهیه گردید. در نهایت لایه تمامی معیارهای مؤثر با استفاده از دستور Weighted Overlay با هم تلفیق و نقشه تابآوری کالبدی کلی منطقه شش شهرداری تهران بدون اعمال سناریوهای زلزله استخراج گردید. برای اعمال سناریوهای زلزله در شدت‌های مختلف، ابتدا نقشه تابآوری کلی منطقه با استفاده از تابع خطی زیر فازی سازی شد.

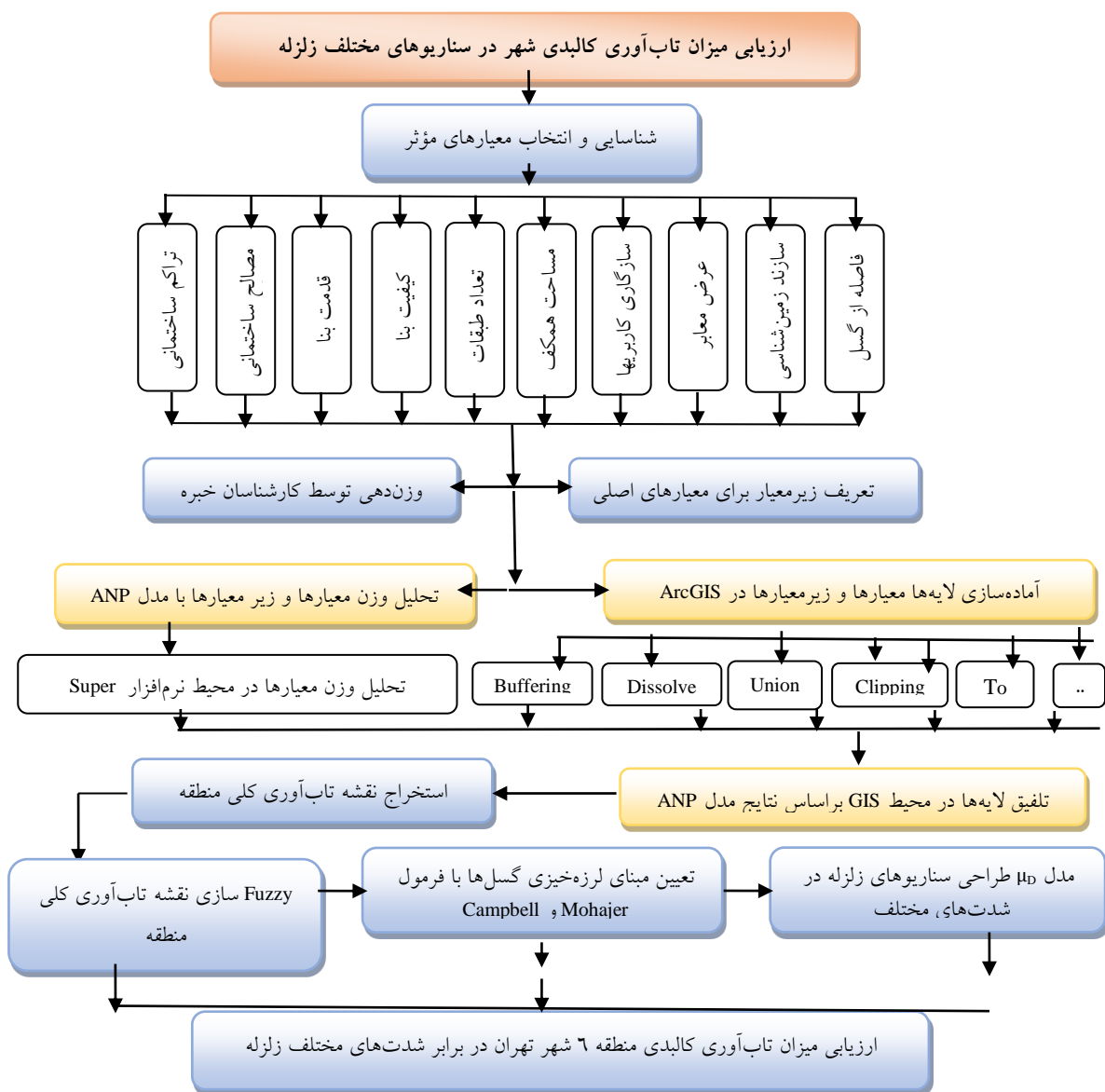
$$F(x) = \sum w_i \mu(x_i) \quad (1)$$

این رابطه (x) برآورد نهایی خطر بر مبنای معیارهای آسیب‌پذیری مختلف است w_i وزن هر یک از معیارهای ورودی به مدل ANP و $\mu(x_i)$ عضویت فازی هر یک از معیارها بر مبنای تابع خطی فازی

است. سپس مبنای سناریوهای زلزله با استفاده از فرمول کامل و مهاجر اشجاعی استخراج شد. در نهایت با استفاده از رابطه شماره (۲) سناریوهای زلزله در شدت‌های مختلف برای ارزیابی دقیق میزان تابآوری سازه‌های منطقه ۶ شهرداری تهران طراحی شد.

$$\mu_D = 2.5 \left[1 + \tanh \left(\frac{I + 6.25\bar{V}_I - 13.1}{2.3} \right) \right] \quad [\text{Milutinovic and Trendafiloski, 2003: 36}] \quad \text{رابطه (۲)}$$

μ_D نشانگر متوسط درجات آسیب، I نشانگر شدت زلزله بر اساس واحد مرکالی اصلاح شده، \bar{V}_I مقدار آسیب‌پذیری حاصله از اعمال روش تحلیل شبکه‌ی (ANP).

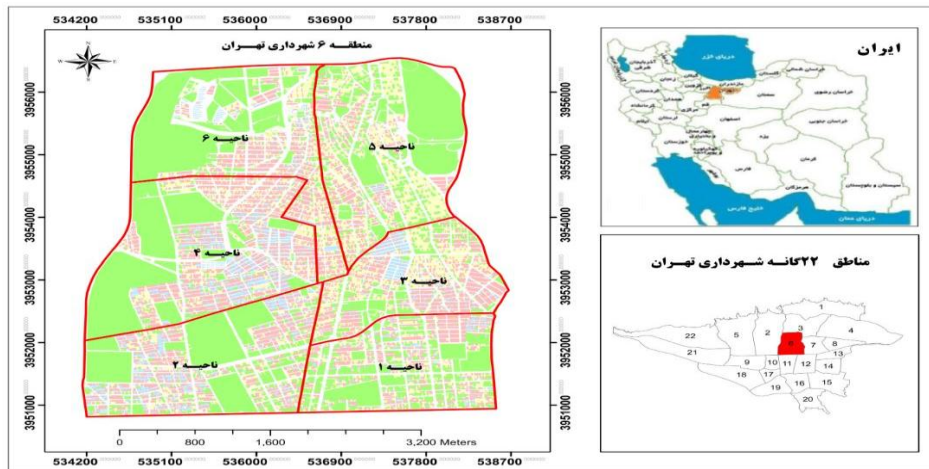


شکل ۱: روند انجام پژوهش در منطقه ۶ تهران

Figure 1: Research process in district 6 of Tehran

محدوده مورد مطالعه

شهر تهران در ۵۱ درجه و ۶ دقیقه تا ۵۱ درجه و ۳۸ دقیقه طول شرقی و ۳۵ درجه و ۳۴ دقیقه تا ۳۵ درجه و ۵۱ دقیقه عرض شمالی قرار گرفته است (Organization of Geography, 2008). منطقه شش شهر تهران با جمعیتی بالغ بر ۲۵۱۳۸۴ نفر بر اساس سرشماری سال ۱۳۹۵ و وسعت ۲۱۳۷/۹ هکتار از چهار جهت غرب، شرق، شمال و جنوب به ترتیب به وسیله بزرگراه‌های چمران، مدرس، همت و محور انقلاب-آزادی محاط شده است. همچنین منطقه با سطحی معادل ۳ درصد مساحت شهر تهران و ۲/۹ درصد کل جمعیت آن، در حال حاضر بیش از ۳۰ درصد ساختمان‌های حکومتی-دولتی، نهادها و بانک‌های دولتی و خصوصی و ارگان‌های اصلی کشوری را در خود جای داده است. به عبارت دیگر مغز متفکر حکومتی، سیستم تصمیم‌سازی، مدیریت دولتی و همچنین موتور نظام بازرگانی - اقتصادی نوین تهران در منطقه شش استقرار یافته است. منطقه ۶ شهر تهران دارای شش ناحیه شهرداری و ۱۴ محله است که نواحی ۳ و ۴ به ترتیب کوچک‌ترین و بزرگ‌ترین نواحی هستند (شکل ۲).

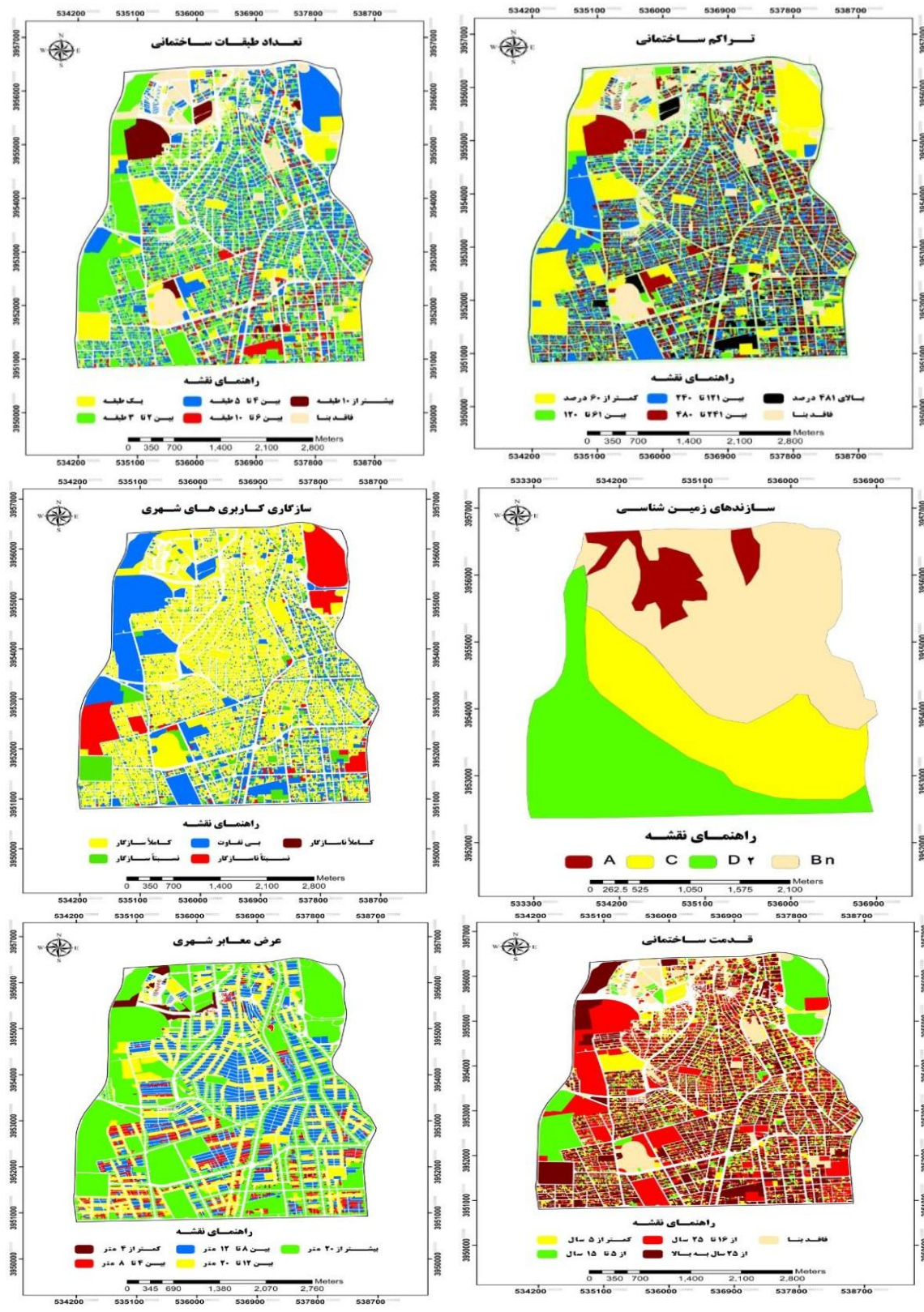


شکل ۲: محدوده منطقه ۶ شهرداری تهران

Figure 2: District 6 of Tehran

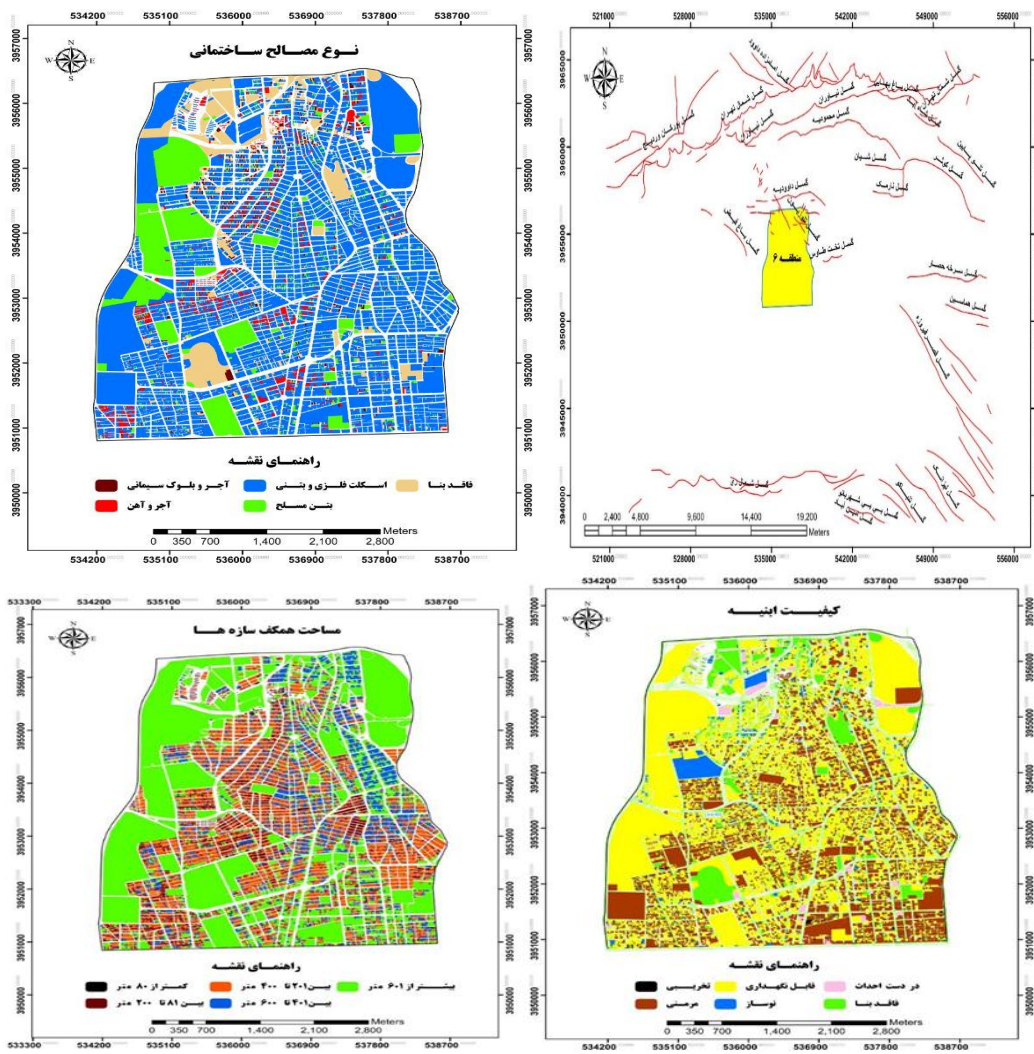
یافته‌ها و بحث

در این پژوهش جهت ارزیابی میزان تابآوری کالبدی منطقه ۶ شهر تهران در برابر شدت‌های مختلف زلزله، ابتدا برخی از معیارهای مؤثر در تابآوری کالبدی شهر در برابر زلزله با استفاده از پژوهش‌های انجام شده و تجربه زلزله‌های اخیر در قالب ده شاخص اصلی (تراکم ساختمانی، مصالح ساختمانی، قدامت بنا، کیفیت بنا، تعداد طبقات ساختمانی، مساحت همکف ساختمانها، سازگاری کاربری‌ها، عرض معابر، جنس سازندگانی زمین‌شناسی و فاصله از گسل) و ۴۶ زیرمعیار تعیین گردید سپس برای هرکدام از معیارهای اصلی به همراه زیرمعیارهایش لایه‌ای در محیط نرم‌افزاری Arc GIS تهیه گردید (شکل ۳).



شکل ۳: لایه های مؤثر در تابآوری بر اساس نتایج مدل (ANP)

Figure 3: Effective layers in modeling based on model results (ANP)



ادامه شکل ۳: لایه‌های مؤثر در تابآوری بر اساس نتایج مدل (ANP)

Continue of Figure 3: Effective layers in modeling based on model results (ANP)

با توجه به این که برخی از معیارها از اهمیت زیادی نسبت به دیگر معیارها برخوردارند و نقش تعیین کننده‌ای در میزان تابآوری کالبدی شهر در برابر زلزله داشتند، پرسشنامه‌ای جهت تعیین اهمیت نسبی هر یک از شاخص‌ها تنظیم گردید و بین ۶۰ نفر از کارشناسان خبره توزیع گردید از جمع‌بندی ۶۰ پرسشنامه‌ای که جهت وزن‌دهی به معیارها و زیرمعیارها توسط کارشناسان خبره تکمیل گردیده بود جدول (۱) حاصل گردید. برای تعیین اهمیت نسبی معیارهای مؤثر از روش مدل ANP بهره گرفته شد. در فرآیند تجزیه و تحلیل شبکه‌ای ANP، اندازه‌گیری مقادیر و اهمیت نسبی مانند فرآیند تحلیل سلسله مراتبی با مقایسه‌های زوجی و به کمک طیف ۱ تا ۹ انجام می‌شود. عدد ۱ نشان‌دهنده‌ی اهمیت یکسان بین دو عامل و عدد ۹ نشان‌دهنده‌ی اهمیت شدید یک عامل نسبت به عامل دیگر است. بر مبنای این روش هر یک از زیرمعیارها در شاخص‌های اصلی بر اساس اهمیتی که دارد، در یکی از گروه‌های تابآوری قرار می‌گیرد.

جدول ۱- امتیازدهی معیارهای مؤثر در تابآوری منطقه ۶ شهر تهران توسط کارشناسان خبره

Table 1- Scoring of effective criteria in the interpretation of District 6 of Tehran by experts

تبار آوری خیلی زیاد ۹	تبار آوری زیاد ۷	تبار آوری متوسط ۵	تبار آوری کم ۳	تبار آوری خیلی کم ۱	زیر معیارها	عوامل و معیارهای اصلی	تبار آوری خیلی زیاد ۹	تبار آوری زیاد ۷	تبار آوری متوسط ۵	تبار آوری کم ۳	تبار آوری خیلی کم ۱	زیر معیارها	عوامل و معیارهای اصلی
*					۱ طبقه	تعداد طبقات	*					۶۰ کمتر از درصد	تراکم ساختمانی
	*				۲ و ۳ طبقه			*				۱۲۰ تا ۱۴۰ درصد	
	*	*			۴ و ۵ طبقه				*			۲۴۰ تا ۲۶۱ درصد	
		*			۶ تا ۱۰ طبقه					*		۴۸۰ تا ۴۹۱ درصد	
			*		بیشتر از ۱۰ طبقه						*	۴۸۱ بیشتر از درصد	
*					کمتر از ۵ سال	قدمت بنا					*	تخریبی	کیفیت بنا
*		*			۵ تا ۱۵ سال				*			مرمتی	
		*			۱۵ تا ۲۵ سال			*				قابل نگهداری	
			*		۲۵ سال به بالا		*					نوساز	
				*	کمتر از ۵۰۰ متر	فاصله از گسل					*	کمتر از ۸۰ متر	مساحت همکف ساختمان
			*		۵۰۰ تا ۱۵۰۰ متر				*			۲۰۰ تا ۸۱۰ متر	
		*			۱۵۰۰ تا ۳۰۰۰ متر				*			۲۰۱ تا ۴۰۰ متر	
		*			۳۰۰۰ تا ۵۰۰۰ متر			*				۶۰۰ تا ۴۰۱ متر	
*					بیشتر از ۵۰۰۰ متر		*					بیش از ۶۰۱ متر	
*					کاملاً سازگار	سازگاری کاربری‌های					*	کمتر از ۴ متر	دسترسی معابر
*					نسبتاً سازگار						*	۴-۸ متر	
		*			بی تفاوت						*	۸-۱۲ متر	
		*			نسبتاً ناسازگار						*	۱۲-۲۰ متر	
			*		کاملاً ناسازگار						*	بیش از ۲۰ متر	
*					A سازند هزار دره	زمین‌شناسی					*	آجر و بلوك سیمان	نوع مصالح
		*			C سازند				*			آجر و آهن	
		*			Bn سازند				*			اسکلت فلزی و بتونی	
			*		D2 سازند		*					پتن مسلح	

برای تحلیل دقیق‌تر وزن معیارها و زیرمعیارها در مدل ANP که توسط کارشناسان خبره وزن‌دهی شده بودند از نرم‌افزار Super Decisions استفاده شد. بعد از این که وزن هر یک از زیرمعیارها در تحلیل شبکه‌ی مشخص شد، بر روی لایه اصلی خود در محیط GIS اعمال شدند سپس لایه‌های اصلی موردنیاز با استفاده از اووزن زیرمعیارها که حاصل تحلیل (ANP) بود تهیه گردید. در نهایت وزن‌های معیارهای اصلی در ANP تحلیل شد. با تبدیل لایه‌ها Weighted Overlay نقشه تابآوری کلی منطقه ۶ شهر تهران استخراج گردد (شکل ۴).



شکل ۴؛ نقشه تابآوری کلی منطقه ۶ در برابر زلزله

Figure 4: Map of the total earthquake resistance of Region 6

جدول ۲- تابآوری کالبدی سازه‌های منطقه ۶ تهران با استفاده از تلفیق لایه‌ها بر اساس نتایج تحلیل شبکه‌ی (ANP)

Table 2- Physical resilience of structures in Tehran region 6 using layer integration based on network analysis results

کل منطقه ۶		تابآوری خیلی کم		تابآوری کم		تابآوری متوسط		تابآوری زیاد		تابآوری خیلی زیاد		تابآوری کلی منطقه
درصد	تعداد سازه	درصد	تعداد سازه	درصد	تعداد سازه	درصد	تعداد سازه	درصد	تعداد سازه	درصد	تعداد سازه	
۱۰۰	۲۹۰۶۳	۱۵/۳۷	۴۴۶۸	۵۵/۲۱	۱۶۰۴۷	۱۳/۹۲	۴۰۴۸	۶/۳۰	۱۸۳۲	۹/۱۸	۲۶۶۸	

ارزیابی میزان تابآوری کالبدی منطقه ۶ شهر تهران با استفاده از نتایج لایه‌ها مؤثر بر اساس نتایج تحلیل شبکه‌ی (ANP) حاکی از آن دارد که ۹/۱۸ درصد سازه‌های منطقه در برابر زلزله از تابآوری خیلی زیاد، ۶/۳۰ درصد از تابآوری زیاد، ۱۳/۹۲ درصد از تابآوری متوسط، ۵۵/۲۱ درصد از تابآوری کم و ۱۵/۳۷ درصد از تابآوری خیلی کم برخوردار می‌باشد (جدول ۲). بیشترین سازه‌های منطقه با تابآوری زیاد در برابر زلزله در محلات امیرآباد، قزلقلعه و گاندی قرار دارند در مقابل بیشترین سازه‌ها با تابآوری کم در محلات ایرانشهر، نصرت و بهویژه در دو محله بهجتآباد و یوسفآباد واقع شده‌اند.

ارزیابی فوق، سنجش میزان تابآوری کالبدی منطقه ۶ شهر تهران در برابر زلزله بر اساس نتایج تحلیل شبکه‌ی (ANP) می‌باشد که توسط کارشناسان خبره وزن‌دهی شده بود. نتایج چنین ارزیابی قابل تعیین به دنیای واقعی نیست مگر این که بر اساس ویژگی‌های مکانی منحصر به فرد منطقه و شدت لرزه‌خیزی گسل‌های در آن منطقه، در سناریوهای مختلف زلزله مورد شیوه‌سازی قرار گیرد. برای طراحی سناریوهای زلزله در شدت‌های مختلف می‌باشد نقشه تابآوری کالبدی منطقه فازی‌سازی شود، شدت لرزه‌خیزی گسل‌های در محدوده منطقه مورد سنجش قرار گیرد و در نهایت فرمولی باشد که بتواند این سناریوها را بر روی نقشه تابآوری کلی منطقه اعمال نماید. با توجه به این که معیارهای ارزیابی با معیارهای مختلف اندازه‌گیری ارائه می‌شوند، برای این‌که بتوان آن‌ها را به یک مقیاس مشترک تبدیل نمود، نیاز به فازی‌سازی نقشه است. در پژوهش حاضر با توجه به این که با افزایش شدت زلزله در سناریوهای مختلف میزان آسیب‌پذیری سازه‌های شهر در برابر زلزله افزایش می‌یابد از تابع خطی رابطه (۲) استفاده شد. برای محاسبه بزرگی زلزله از روابط (۳ و ۴) استفاده شده است:

$$M = \log L/2 + 504 \quad (\text{Mohajer Ashjai, 1987}) \quad \text{رابطه (۳)}$$

محاسبه بزرگی زلزله (M) بر حسب ریشر، (L) طول گسل بر حسب Km است.

$$a = 1320 \exp(.58M)/(R+25)^{1.25} \quad (\text{Campbell, 1981}) \quad \text{رابطه کمب (۴)}$$

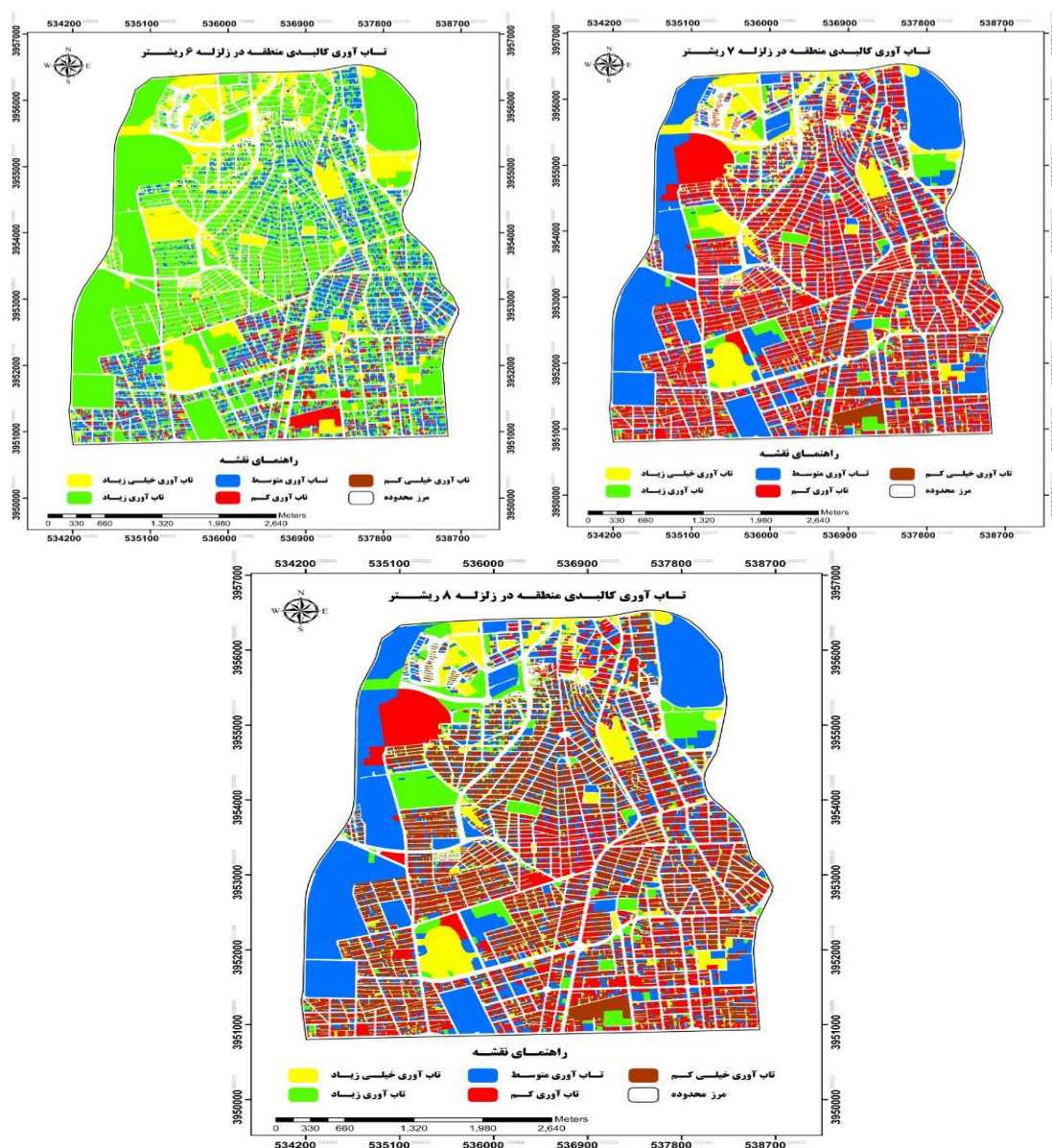
در روابط بالا (a) شتاب حداقل زمین بر حسب سانتی‌متر بر مجدور ثانیه، (R) فاصله محل مورد نظر از گسل یا کانون زلزله بر حسب کیلومتر، (M) بزرگی زمین‌لرزه بر حسب ریشر.

محاسبه شدت لرزه‌خیزی گسل‌های شهر تهران در محدوده منطقه ۶ شهر تهران با استفاده از روابط (۳ و ۴) حاکی از آن دارد که حداقل شدت لرزه‌خیزی گسل‌های تهران در این محدوده ۸ ریشر است. از آنجایی که سازه‌های شهری معمولاً در زلزله‌های با شدت ۵ ریشر آسیب نمی‌بینند. مبنای طراحی سناریوها ۶ تا ۸ ریشر می‌باشد. برای اعمال

سناریوهای زلزله در شدت‌های مختلف بر روی نقشه تاب‌آوری کلی منطقه ۶ شهر تهران از رابطه (۵) استفاده شده است.

$$\mu_D = 2.5 \left[1 + \tanh \left(\frac{I+6.25\bar{V}_I - 13.1}{2.3} \right) \right] \quad [\text{Milutinovic and Trendafiloski, 2003: 36}] \quad \text{رابطه (5)}$$

برای ارزیابی میزان تاب‌آوری کالبدی منطقه ۶ شهر تهران در برابر شدت‌های مختلف زلزله مشابه با نتایج دنیای واقعی، به طراحی سناریوهای زلزله با شدت‌های ۶، ۷ و ۸ ریشتر پرداخته شده است (شکل ۵).



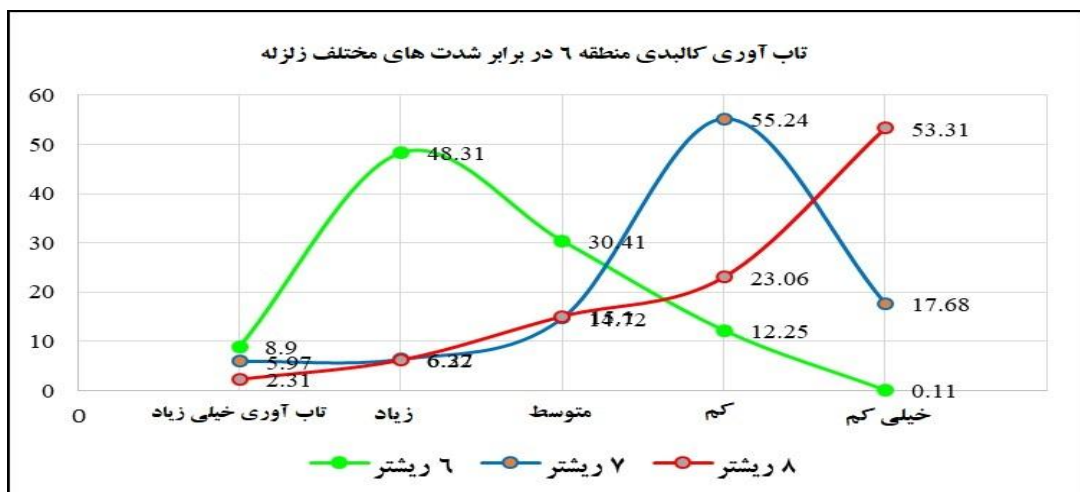
شکل ۵: نقشه تاب‌آوری کالبدی سازه‌های شهرداری منطقه ۶ در زلزله‌ی با شدت‌های ۶، ۷ و ۸ ریشتر
Figure 5: Physical resilience map of structures in district 6 in an earthquake with magnitudes of 6, 7 and 8 Richter

جدول ۳- توزیع آماری تابآوری سازه‌های منطقه شش تهران در زلزله با شدت‌های ۶، ۷ و ۸ ریشتر

Table 3- Statistical distribution of resilience of structures in Tehran's sixth district

زلزله ۸ ریشتری		زلزله ۷ ریشتری		زلزله ۶ ریشتری		میزان تابآوری
درصد	تعداد سازه	درصد	تعداد سازه	درصد	تعداد سازه	
۲/۳۱	۶۷۲	۵/۹۷	۱۷۳۵	۸/۹۰	۲۵۸۷	تابآوری خیلی زیاد
۷/۲۲	۱۸۰۸	۶/۳۷	۱۸۵۲	۴۸/۳۱	۱۴۰۴۲	تابآوری زیاد
۱۵/۱۰	۴۳۸۶	۱۴/۷۲	۴۲۷۹	۳۰/۴۱	۸۸۴۰	تابآوری متوسط
۲۳/۰۶	۷۷۰۳	۵۵/۲۴	۱۶۰۵۶	۱۲/۲۵	۳۵۶۰	تابآوری کم
۵۳/۳۱	۱۵۶۹۴	۱۷/۶۹	۵۱۴۱	۰/۱۱	۳۴	تابآوری خیلی کم
۱۰۰	۲۹۰۶۳	۱۰۰	۲۹۰۶۳	۱۰۰	۲۹۰۶۳	جمع

اعمال سناریوهای زلزله در شدت‌های مختلف بر روی نقشه تابآوری کلی منطقه ۶ شهرداری تهران حاکی از آن دارد که در زلزله ۶ ریشتری ۸/۹۰ درصد سازه‌های منطقه در وضعیت تابآوری خیلی زیاد و ۴۸/۳۱ درصد در وضعیت تابآوری زیاد قرار دارند بیشتر این سازه‌ها در ناحیه چهار شهرداری منطقه محلات قزلقلعه و شریعتی، در ناحیه شش شهرداری منطقه محله امیرآباد و در ناحیه پنج محله گاندی واقع شده‌اند. ۳۰/۴۱ درصد سازه‌ها که بیشتر در محلات عباسآباد و قائم مقام قرار دارند وضعیت تابآوری متوسط دارند. ۱۲/۲۵ درصد از سازه‌ها وضعیت تابآوری کم و ۰/۱۱ درصد از وضعیت تابآوری خیلی کم برخوردارند بیشتر سازه‌های منطقه با تابآوری کم در ناحیه یک شهرداری منطقه در محله ایرانشهر و در ناحیه دو شهرداری منطقه در قسمت شمال شرقی ناحیه و محله نصرت قرار دارند. در زلزله ۷ ریشتری ۵/۹۷ درصد سازه‌ها منطقه تابآوری خیلی زیاد، ۶/۳۷ درصد تابآوری زیاد، ۱۴/۷۲ درصد تابآوری متوسط، ۵۵/۲۴ درصد تابآوری کم و ۱۷/۶۹ درصد تابآوری خیلی کم برخوردارند. بیشتر سازه‌های با تابآوری کم در سطح منطقه بیشتر در نواحی شهرداری ۱، ۲، ۳، قسمت شرقی ناحیه چهار شهرداری و قسمت غربی ناحیه پنج شهردار منطقه قرار دارند (جدول ۳). در زلزله ۸ ریشتری وضعیت سازه‌های منطقه در وضعیت بحرانی تری قرار می‌گیرند به‌طوری‌که ۵۳/۳۱ درصد سازه‌ها در وضعیت تابآوری خیلی کم و آسیب‌پذیری جدی قرار می‌گیرند. علاوه براین سازه‌ها، ۲۳/۰۶ درصد سازه‌ها منطقه در دامنه تابآوری کم واقع شده‌اند. در مجموعه در زلزله ۸ ریشتری ۷۶/۳۷ درصد سازه‌های منطقه با تابآوری کم و خطر ویرانی روبرو است. بیشتر این سازه‌ها بازهم در نواحی شهرداری ۱، ۲، ۳، قسمت شرقی ناحیه چهار شهرداری و قسمت غربی ناحیه پنج شهرداری منطقه واقع شده‌اند. بررسی شاخص‌های مورد استفاده در پژوهش حاکی از آن دارد که علل کاهش تابآوری سازه‌های منطقه ۶ شهر تهران در نواحی ذکر شده، تراکم بالای ساختمانی، قدمت بالای سازه‌های، کیفیت پایین اینیه‌ها، ریزدانه بودن سازه‌ها و قرار گرفتن بر روی سازندهای سست زمین‌شناسی همچون B_{n2} و D_2 است. پنج شاخص مطرح شده دخالت مستقیمی در کاهش تابآوری منطقه در برابر زلزله دارد.



شکل ۶: نمودار میزان تابآوری کالبدی منطقه ۶ شهر تهران در شدت‌های مختلف زلزله
Figure 6: Diagram of physical resilience of region 6 of Tehran in different earthquake intensities

مقایسه نمودار میزان تابآوری کالبدی منطقه ۶ شهر تهران در برابر زلزله در سناریوهای مختلف نشان می‌دهد که در زلزله ۶ ریشری راس هرم با بیشترین تعداد سازه‌ها در دامنه تابآوری خیلی زیاد قرار دارد به طوری که بیش از ۵۷ درصد سازه‌ها از تابآوری خیلی زیاد و زیادی در برابر زلزله برخورداراند. در زلزله ۷ ریشری راس هرم با بیشترین سازه در دامنه تابآوری کم قرار گرفته است. یافته‌های پژوهش حاکی از آن دارد که با افزایش شدت زلزله از ۶ ریشر به ۷ ریشر، بیش از ۷۲ درصد سازه‌ها تابآوری خود را از دست می‌دهند و با آسیب‌پذیری زیاد تا خیلی زیاد مواجه می‌شوند. با افزایش مجدد شدت زلزله به ۸ ریشر (یعنی حداقل توان لرزه‌خیزی گسل‌های شهر تهران) راس هرم در دامنه تابآوری خیلی کم حالت صعودی با شبیه تند به خود می‌گیرد که حاکی از تابآوری خیلی کم منطقه ۶ شهر تهران در مواجه با زلزله ۸ ریشری دارد. در این شدت از زلزله بیش از ۲۳ درصد از سازه‌ها با آسیب‌پذیری زیاد و بیش از ۵۳ درصد سازه‌ها با آسیب‌پذیری خیلی زیاد و یا با نابودی کامل مواجه می‌شوند (شکل ۶).

نتیجه‌گیری

زلزله یکی از فاجعه‌بارترین و مخرب‌ترین انواع مخاطرات طبیعی است که با خرابی ساختمان‌ها و زیرساخت‌های شهری، خسارت‌های بسیاری را به اموال و دارایی‌ها در نواحی شهری و اطراف آن وارد می‌کند. در مقابل این وضعیت، استراتژی‌های سازمان‌های بین‌المللی برای کاهش بلاایا، ایجاد جوامع تابآوری در برابر بلاایای طبیعی است. افزایش تابآوری شهرها در برابر بلاایای طبیعی به ویژه زمین‌لرزه‌ها به میزان زیادی در کاهش این خسارات و همچنین زمان بهبودی جوامع مؤثر است. بر این اساس پژوهش حاضر با هدف ارزیابی تابآوری کالبدی منطقه ۶ شهر تهران در برابر سناریوهای مختلف زلزله انجام شد. برای رسیدن به ارزیابی دقیق‌تر و شبیه‌سازی میزان تابآوری کالبدی سازه‌های منطقه ۶ شهر تهران در برابر شدت‌های مختلف زلزله، ۱۰ معیار اثربخش در قالب

زیرمعیار که در تابآوری کالبدی منطقه مؤثر بودند بر اساس وزن‌های حاصل از تحلیل شبکه (ANP) در محیط Weighted Overlay تلفیق شد و نقشه تابآوری کلی منطقه ۶ شهر تهران استخراج گردید. نقشه تابآوری کلی منطقه ۶ شهر تهران بدون اعمال سناریوهای مختلف زلزله و بر اساس نتایج تحلیل شبکه (ANP) حاکی از آن دارد که ۱۵/۴۸ درصد سازه‌های منطقه که در ناحیه ۵ شهرداری منطقه (محله گاندی) و ناحیه شش شهرداری منطقه (محله امیرآباد و قزلقلعه) واقع شده‌اند از تابآوری خوبی در برابر زلزله برخوردارند. در مقابل ۷۰/۵۸ درصد سازه‌های منطقه که بیشتر در ناحیه ۱ شهرداری منطقه (محله ایرانشهر)، ناحیه ۲ شهرداری منطقه (محله نصرت) و بهویژه در دو محله بهجتآباد (شهرداری ناحیه ۳ منطقه) و یوسفآباد (شهرداری ۵ منطقه) قرار گرفته‌اند تابآوری کم در برابر زلزله دارند. برای ارائه نتایج واقعی‌تر از میزان تابآوری کالبدی سازه‌های منطقه ۶ شهر تهران در برابر شدت‌های مختلف زلزله، با استفاده از مدل FuzzyANP و μ_D به طراحی سناریوهای زلزله در شدت‌های مختلف بر مبنای شدت لرزه‌خیزی گسل‌های شهر تهران در محدوده مورد مطالعه پرداخته شد. نتایج حاصل از پژوهش نشان داد که در زلزله ۶ ریشتری از مجموعه سازه‌های منطقه، ۱۲/۳۶ درصد از تابآوری کمی در برابر زلزله برخوردارند بیش‌تر این سازه‌ها در ناحیه یک شهرداری منطقه در (محله ایرانشهر) و در ناحیه دو شهرداری منطقه در (قسمت شمال شرقی ناحیه) و در ناحیه ۲ شهرداری منطقه (محله نصرت) قرار دارند. در زلزله ۷ ریشتر ۱۲/۳۴ درصد سازه‌های منطقه تابآوری بیش‌تری در برابر شوک‌های زلزله را دارند در مقابل ۷۲/۹۳ درصد سازه‌های منطقه در برابر زلزله ۷ ریشتری از تابآوری کمی برخوردارند این سازه‌های در سطح منطقه بیش‌تر در ناحیه‌های شهرداری ۱، ۲، ۳، قسمت شرقی ناحیه چهار شهرداری و قسمت غربی ناحیه پنج شهردار منطقه قرار گرفته‌اند. در زلزله ۸ ریشتری با افزایش شدت زلزله، سازه‌های منطقه ۶ شهر تهران که در شدت‌های ۶ و ۷ ریشتر در نواحی شهرداری و محلات منطقه با تابآوری کم روبرو بودند با کاهش تابآوری، نمود مشخص و گستره‌ای به خود گرفته‌اند، به‌طوری‌که در نواحی شهرداری ۱، ۲، ۳، قسمت شرقی ناحیه چهار شهرداری و قسمت غربی ناحیه پنج شهرداری منطقه، سازه‌ها با تابآوری کم و خطر تخریب کامل مواجه شده‌اند. نمودار میزان تابآوری کالبدی منطقه ۶ شهر تهران در شدت‌های مختلف زلزله حاکی از آن دارد که در زلزله ۶ ریشتری بیش‌ترین سازه‌های منطقه در دامنه تابآوری خیلی زیاد، در زلزله ۷ ریشتری در دامنه تابآوری کم و در زلزله ۸ ریشتری در دامنه تابآوری خیلی کم قرار دارند. با توجه به یافته‌های پژوهش حاضر، نهادها و سازمان‌های متولی می‌توانند با برنامه‌ریزی اصولی تابآوری منطقه را افزایش داد و تا حد زیادی از خسارات‌های جانی و مالی در برابر زلزله بکاهند. لذا در این خصوص پیشنهاد می‌گردد مسئولین و متولیان امر تجمعی قطعات ریزدانه و نوسازی ساختمان‌ها با قدمت بالا و کیفیت پایین را در اولویت برنامه‌های آتی خود قرار دهند تا در راستای تابآور نمودن منطقه گامی جدی بردارند. نتایج پژوهش حاضر و پژوهش‌های مشابه انجام شده در سطح جهانی نشان می‌دهد که می‌توان با ارزیابی میزان تابآوری کالبدی نواحی شهری در برابر زلزله با استفاده از مدل‌های مکانی بخش مهمی از تلفات زلزله کاهش

داد، اما این مهم نیازمند بانک داده‌های GIS بهروزرسانی و استقبال از ایده‌ها نو و تشویق فعالیت‌های پژوهشی در این زمینه است که عزم جدی مسئولان و سازمان‌های متولی را می‌طلبد.

References

- Aldrich, D. P., (2012), "***Building resilience social capital in post-disaster recovery***", Chicago: University of Chicago Press.
- Amir, A. F., Ghapar, A. A., Jamal, S. A., Ahmad, K. N., (2015), "Sustainable tourism development: study on community resilience for rural tourism in Malaysia", ***Procedia- Social and Behavioral Sciences***, 168: 116- 120.
- Aslani, F., (2018), "Understanding, analyzing and reducing the vulnerability to earthquakes (Case Study of East Golestan neighborhood unit: Tehran District 22)", ***Disaster Prev. Manag. Know.***, 8 (3): 241-254. [In Persian].
- Azarkish, M., Hafez Rezazadeh, M., Miri, G., (2017), "Application of geographic information system and analytical hierarchy process (AHP) in locating Sites for temporary Housing Victims of natural disasters in the region two municipality of Zahedan", ***Geographical space***, 58 (17): 169-189. [In Persian].
- Bahrami, S., Sarvar, R., Asadian, F., (2018), "The evaluation and analysis of institutional and physical resilience of urban neighborhoods of sanandaj", ***Territory***, 59 (15): 15-38. [In Persian].
- Basher, R., Hayward, B., Lavell, A., Martinelli, A., Perez, O., Pulwarty, R., Cutter, S., (2015), "***Disaster risks research and assessment to promote risk reduction and management***", ISCU-ISSC- AD-HOC group on disaster risk assessment, 1-141.
- Behtash, M., Keynejhad, M., Taghi Pirbabaei, M., Asgary, A., (2013), "Evaluation and analysis of dimensions and components of Tabriz metropolis resiliency", ***Honar-Ha-Ye-Ziba: Memary Va Shahrzazi***, 18 (3): 33-42. [In Persian].
- Berkes, F., (2007), "Understanding uncertainty and reducing vulnerability: lessons from resilience thinking", ***Natural Hazards***, 41 (2): 283-295.
- Chelleri, L., (2012), "From the «resilient city» to urban resilience, A review essay on understanding and integrating the resilience perspective for urban systems", ***Documents d'Anàlisi Geogràfica***, 58 (2): 287-306.
- Cimellaro, G. P., Renschler, C., Bruneau, M., (2015), "Computational methods, seismic protection", ***Hybrid Testing and Resilience in Earthquake Engineering***, Springer, 2015th edition, September, 26: 1-342.
- COP., (2015), "***Climate change and natural disasters displace millions, affect migration flows***", December 10, Paris. [on line]: <http://www.migrationpolicy.org/article>.
- Cutter, S. L., Barnes, L., Berry, M., Burton, C., Evans, E., Tate, E., Webb, J., (2008), "A place-based model for understanding community resilience to natural disasters", ***Global Environmental Change***, 18 (4): 598-606.
- D'Cruz, C., Satterthwaite, D., (2005), "***Building homes, changing official approaches***", London: International Institute for Environment and Development (IIED).
- Esmaeili kakhki, F., Najiazimi, Z., Pooya, A., Tavakoli, A., (2020), "A new hybrid model for emergency location problem after earthquake in Mashhad", ***Geographical Space***, 71 (20): 75-101. [In Persian].
- Godschalk, D., (2003), "Urban hazard mitigation: creating resilient cities", ***Natural Hazards***, 4 (3): 136-143
- Gunderson, L. H., (2010), "Ecological and human community resilience in response to natural disasters", ***Ecology and Society***, 15 (2): 323-331.

- Heidari, R., Gholami, Y., Salimi, Z., (2018), "Resilience assessment of physical urban areas against earthquake: The case of old neighborhoods in Bushehr)", *Journal of Geography and Environmental Hazards*, 6 (4): 63-80. [In Persian].
- Kabir, H., Sato, M. Habbiba, U., Yousuf, T. B., (2018), "Assessment o urban disaster resilience Dhaka North city corporation (DNCC), Bangladesh", *Procedia Engineering*, 212: 1107-1114.
- León, J., March, A., (2014), "Urban morphology as a tool for supporting tsunami rapid resilience: A case study of Talcahuano, Chile", *Habitat International*, 43:250-262.
- Lewis, J., Kelman, I., (2010), "Places people and perpetuity community capacities in ecologies of catastrophe", *An International E-Journal for Critical Geographies (ACME)*, 9 (2): 191-220.
- Mahmoodzadeh, H., Herischian, M., (2018), "Measurement and prioritization of resilience indicators by using structural equation and fuzzy multivariate analysis (A case study: region 1 of Tabriz metropolitan)" , *Research and Urban Planning*, 34 (9): 59-74. [In Persian].
- Malek, M., Pileh Forooshha, P., (2015), "A comparison between traditional and intuitionistic fuzzy logic for vulnerability mapping under uncertainty", *Journal of Emergency Management*, 3 (2): 5-13. [In Persian].
- Maleki, S., Amanpour, S., Safaeepour, M., Pormosavi, S., Mavedat, E., (2017), "Evaluation of urban physical resilience spectrum the against earthquake using the model planning (A case study of Ilam)", *Physical Social Planning*, 4 (1): 9-20. [In Persian].
- Manyena, S., (2006), The concept of resilience revisited, *Disasters*, 30 (4): 433-450.
- Milutinovic,V., Trendafiloski Goran, S., (2003), "*An advanced approach to earthquake risk-scenarios with applications to diffevent european tows*", Bureau de Recherches Géologiques et Minières, parise, France.
- Mitchell, T., Harris, K., (2012), "Resilience: A risk management approach", Overseas Development Institute, *ODI background note (ODI)*: Westminster Bridge Road, London.
- Organization of Geography., (2008), "*History of Tehran*", Second Edition: Tehran: Organization of Geography and Cartography of Geology. [In Persian].
- Palekiene, O., Simanaviciene, Z., Bruneckiene, J., (2015), "The application of resilience concept in the regional development context", *Procedia-Social and Behavioral Sciences*, 213: 179-184.
- Pashapour, H., Pourakrami, M., (2018), "Measuring physical dimensions of urban resilience in the face of the natural disasters (Earthquake) (case study: Tehran's 12th district)", *Journal of Studies of Human Settlements Planning*, 12 (4): 985-1002. [In Persian]
- Paton, D., Leigh, S., Violanti, J., (2000), "Disaster response risk, vulnerability and resilience", *Disaster Prevention and Management*, 9 (3): 173-179.
- Pelling, M., (2003), "*The vulnerability of cities*", London: Earth scan.
- Pickett, S. T. A., Cadenasso, M. L., Grove, J. M., (2004), "Resilient cities meaning, models, and metaphor for integrating the ecological, socio-economic, and planning realms", *Landscape and Urban Planning*, 69: 369-384.
- Pisano, U., (2012), "*Resilience and sustainable development theory of resilience, Systems thinking and adaptive governance*", European Sustainable Development Network (ESDN): Vienna, Austria.
- PourAhmad, A., Ziari, K., Abdali, Y., Sadeghi, A., (2019), "Analysis of resiliency criteria in urban worn out texture of Tehran 10 municipality against earthquake with emphasis on physical resilience", *Research and Urban Planning*, 36 (10): 1-21. [In Persian].

- Proag, V., (2014), "Assessing and measuring resilience", *Procedia Economics and Finance*, 18: 222-229.
- Rahman, A., Shaw, R., Surjan, A., Parvin, G. A., (2016), "Urban disasters and approaches to resilience", *Urban Disasters and Resilience in Asia*, 13 (2): 1-19.
- Renschler, S., Chris, A., Arendt, L., Cimellaro, G. P., Reinborn, A., Bruneau, M., (2010), "A framework for defining and measuring resilience at the community scale the peoples resilience framework", *National Institute of Standards and Tchonology*, 3: 249-260.
- Sharifi, A., Yamagata Y., (2014), "Resilient urban planning: Major principles and criteria", *Energy Procedia*, 61: 1491-1495.
- Suarez, M., Baggethun, E. G., Benayas, J., Tilbury, U., (2016), "Towards an urban resilience index: A case study in 50 Spanish cities", *Sustainability*, 74: 87.
- Thilo, L., (2010), "*Urban resilience and new institutional theory, A happy couple for urban and regional studies?*", Springer: Berlin, Heidelberg.
- Tompkins, E. L., Adger, W. N., (2004), "Does adaptive management of natural resources enhance resilience to climate change? ", *Ecology and society*, 9 (2): 1-14.
- Walker, B., Holling, C. S., Carpenter, S. R., Kinzig, A., (2004), "Resilience, adaptability and transformability in social- ecological systems", *Ecology and Society*, 9 (2): 1-9.
- Weichselgartner, J., Kelman, I., (2015), "Geographies of Resilience challenges and opportunities of a descriptive concept", *Progress in Human Geography*, 39 (3): 249-267.
- Xu, J., Lu, Y., (2018), "Towards an earthquake-resilient world: From post-disaster reconstruction to pre-disaster prevention", *Environmental Hazards*, 17 (4): 269-275.
- Yoon, D. K., Kang, J. E., Brody, S. D., (2015), "A measurement of community disaster resilience la Korea", *Journal of Environmental Planning and Management*, 59 (3): 436-460.
- Yu, P., Wen, W., Ji, D., Zhai, C., Xi, L., (2019), "A framework to assess the seismic resilience of urban hospitals", *Advances in Civil Engineering*, 2019: 1-11.
- Zali, N., Sohrab, M., (2018), "An analysis of the influential factors in regional resiliency using TRIZ technique; A case sudy in Hamedan province", *Regional Planning*, 29 (8): 41-52. [In Persian].
- Zanganeh Shahri, Z., Ziari, K., Pourakarami, M., (2017), "Evaluation and analysis of the physical resilience of the region 12 in Tehran against earthquakes using FANP and Vickor models", *Geography*, 52 (15): 81-101. [In Persian].
- Zhao, P., Chapman, R., Randal, E., Howden-Chapman, PH., (2013), "Understanding resilient urban futures: A systemic modelling approach", *Journal of Sustainability*, 5: 3201-3223.